

I-12 大きい円孔を有するH形はりの応力分布について

広島大学工学部 正員 大村 裕

広島大学工学部 正員 ○上野谷 実

佐藤工業 正員 森下 靖雄

1. まえがき

円孔を有するH形はりの弾性応力解析は、はりを無限板と仮定する無限板理論を適用することから解析の適用範囲は、孔径が、はり高の1%までに制限される。特に、せん断力の卓越する荷重状態の場合、孔径が、はり高の1%に適用範囲は低下する。このように、大きい孔を有するH形はりの解析法は未解決のまゝになっている。

著者らは、無限板理論に、はりの任意断面における内力と外力の釣合条件を導入して、孔の大きさと無限板に適用できる解析法として修正理論を提案する。また模型はりの実験によって修正理論の適用範囲を検討している。

2. 無限板理論による解析法

無限板理論による有孔はりの弾性解析は、孔縁の境界条件を満足するAiryの応力関数 Φ_0 を求めることに帰着する。応力関数 Φ_0 は、次の二つの関数より成る。

$$\Phi_0 = \Phi_1 + \Phi_2$$

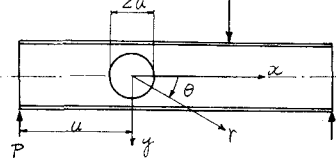


図 - 1

ここに、 Φ_1 は、無孔の場合の応力関数。 Φ_2 は、 Φ_1 に於て孔縁に生ずる垂直応力 σ_r 、せん断応力 τ_{xy} を打ち消し、無限遠において消失するような応力関数。

図-1のようだ、円孔を有するH形はりが、単純支持で、集中荷重を受けるときの応力関数は無限板理論の場合、次のような二つの複素応力関数 $\phi_0(z)$, $\psi_0(z)$ で表すことができる。

$$\phi_0(z) = \frac{P_i}{8I} \left[-\frac{1}{3} z^3 - \lambda_0 a z^2 + (4b^2 - 1) a^4 z^{-1} + \lambda_0 a^5 z^{-2} + \frac{2}{3} a^6 z^3 \right] \quad (1)$$

$$\psi_0(z) = \frac{P_i}{8I} \left[\frac{2}{3} z^3 + \lambda_0 a z^2 + 4 \lambda_0^2 a^2 z + 2 \lambda_0 a^3 - \lambda_0 a^5 z^{-2} + 4(b^2 - \frac{1}{3}) a^6 z^{-3} + 2 \lambda_0 a^7 z^{-4} + 2 a^8 z^{-5} \right] \quad (2)$$

ここで、 $z = x + iy$, i : 虚数単位, $\lambda_0 = \frac{u}{a}$, $\theta_0 = \frac{c}{a}$, $c^2 = a^2(1 + 2\frac{u}{a}a)$, I : はりの断面二次モーメント
複素応力関数 $\phi_0(z)$, $\psi_0(z)$ と応力成分 σ_x , σ_y , τ_{xy} の関係は次式で与えられる。

$$\sigma_x + i\sigma_y = 4 \operatorname{Re} \phi_0'(z) \quad (3)$$

$$\sigma_y - i\sigma_x + 2i\tau_{xy} = 2(\operatorname{Re} \phi_0''(z) + i\psi_0'(z)) \quad (4)$$

$= 1$: Re ; 実数部分, $= x - iy$

3. 無限板理論による内力と外力の釣合

任意断面において、はりに作用する外力と内力は等しくなければならぬ。という条件から無限板理論の適用範囲が規制される。すなわち、はりの任意断面において、内外力は常に次式を満足しなければならない。

$$M = \int_A \sigma_x y dy \quad (5)$$

$$S = \int_A \tau_{xy} y dy \quad (6)$$

ここで、 M , S は、任意断面に作用する外力、 σ_x , τ_{xy} は内力である。Aは積分を行う面積である。

式(5)(6)の右辺の内力によるモーメント、せん断力をそれを M' , S' として、内力と外力の比 M'/M , S'/S を円孔径とはり高い比 $\alpha = a/d$ のパラメーターを用いて数値計算したものと図-2に示す。

図-2は、断面の位置によって内外力の釣合が変化することを示している。モーメントの釣合 M'/M は、断面の位置による変化は比較的少ないが、せん断力の釣合 S'/S は、円孔が大きくなるほど断面の位置による変化は大きい。これに、 $0 \leq x_0 \leq a$ の断面の釣合は、モーメントに比べて著しく劣る。

内力と外力の釣合が 80%以上のとき、解析法の適用が許容されるものとすれば、無限板理論は曲げのみを受ける荷重状態で $\alpha \leq 0.7$ 、せん断のみを受ける荷重状態で $\alpha \leq 0.4$ において適用が可能といえる。曲げとせん断を受ける荷重状態では、曲げモーメントとせん断力の比により、適用範囲は、 $\alpha \leq 0.4 \sim 0.7$ と考えられる。

4. 修正理論

修正理論は、無限板理論の内力と外力と釣合ための条件を式(5)(6)より求め、その条件を応力関数に導入したものである。内外力が常に釣合うための条件を求める目的で、(5)(6)式が常に成立つものと仮定して、右辺の積分を行う。このとき、内外力の釣合は、荷重状態に悪影響と考えて、 λ_0 , γ_0 は、それぞれ曲げのみ、せん断のみを受けるものを適用する。計算の結果、無限板理論で定数として扱われていた入、出力は、断面の位置による変数入、出として考えねばならないことがわかった。 λ_0 , γ_0 と入、出の関係は次のようにならざる。

$x_0 \neq 0$ の断面における

$$\lambda = \lambda_0 / [1 - Y^2 - \alpha^4 (6X^2 + \alpha^2) \{ 1/(X^2 + 1)^2 - Y/(X^2 + Y^2)^2 \} + \alpha^4 (6X^4 + 7X^2 X^2) \{ 1/(X^2 + 1)^3 - Y/(X^2 + Y^2)^3 \} - 6\alpha^6 X^4 \{ 1/(X^2 + 1)^4 - Y/(X^2 + Y^2)^4 \}] \quad (7)$$

$$Y^2 = \gamma_0^2 / [1 - Y - (2\alpha^2 + 3\alpha^4/8X^2) \{ 1/(X^2 + 1) - Y/(X^2 + Y^2) \} + \alpha^2 (4X^2 + \alpha^2) \{ 1/(X^2 + 1)^2 - Y/(X^2 + Y^2)^2 \} - 4\alpha^4 X^2 \{ 1/(X^2 + 1)^3 - Y/(X^2 + Y^2)^3 \}] \quad (8)$$

$x_0 = 0$ の断面における

$$\lambda = \lambda_0 / (1 - \alpha^6) \quad (7')$$

$$Y^2 = \gamma_0^2 / (1 - \alpha^2)^2 \quad (8')$$

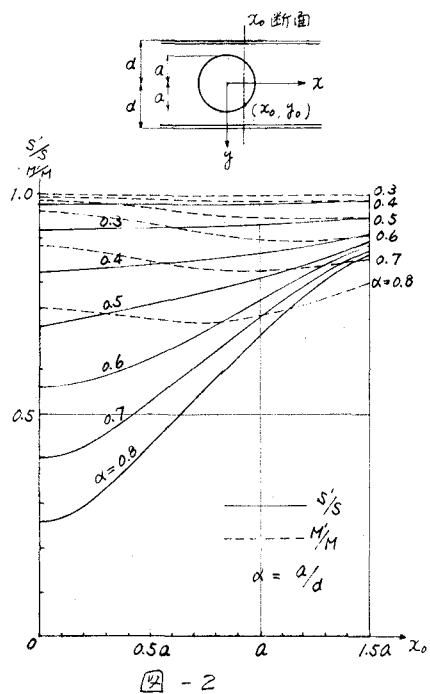


図-2

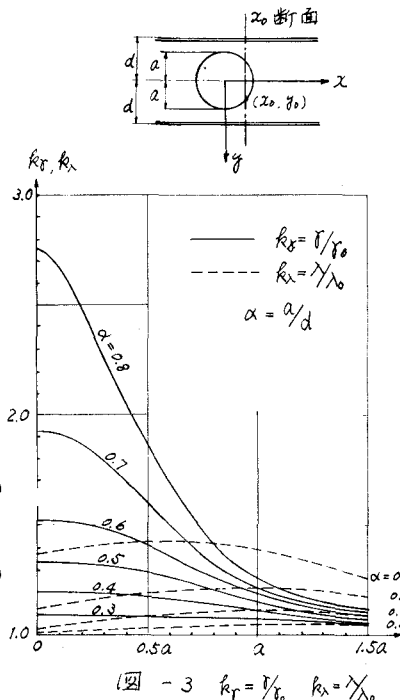


図-3 $R_x = R_0/\lambda_0$, $R_y = \gamma_0/\lambda_0$

ここで $\alpha = a/d$, $X = x_0/d$, $Y = y_0/d$, x_0, y_0 ; 任意断面における円孔縁の座標。断面の位置による変

数入、 α を λ_0 、 β_0 との比 $k_{\alpha} = \gamma/\lambda_0$ 、 $k_{\beta} = \gamma/\beta_0$ として図-3に示す。

修正理論の応力関数 F_1 は、無限板理論の応力関数 F_0 の入 α 、 β_0 を入 α 、 β に置換さればよく、応力成分 σ_x 、 σ_y 、 τ_{xy} は次式のようになる。

$$\begin{aligned}\sigma_x &= \frac{P}{4\pi} [4y(\lambda\alpha+x) - 2\alpha^4(4\beta^2-1)x\gamma(x^2+y^2)^{-2} + \alpha^4y\{3\lambda\alpha(y^2-3x^2) + 4(4\beta^2-1)x(y^2-x^2)\}(x^2+y^2)^{-3} - \alpha^5y\{3\lambda(5x^4 \\ &\quad - 10x^2y^2+y^4) - 8\alpha(3\beta^2-2)x(x^2-y^2)\}(x^2+y^2)^{-4} + 4\alpha^6y\{-2x(3x^2y^2)(x^2-3y^2) + \lambda\alpha(5x^4-10x^2y^2+y^4)\}(x^2+y^2)^{-5} \\ &\quad + 10\alpha^8xy(3x^2y^2)(x^2-3y^2)(x^2+y^2)^{-6}\}] \quad (9)\end{aligned}$$

$$\begin{aligned}\sigma_y &= \frac{P}{4\pi} [-2\alpha^4(4\beta^2-1)x\gamma(x^2+y^2)^{-2} + \alpha^4y\{\lambda\alpha(y^2-3x^2) - 4(4\beta^2-1)x(y^2-x^2)\}(x^2+y^2)^{-3} + \alpha^5y\{3\lambda(5x^4-10x^2y^2+y^4) - 2\alpha\lambda x \\ &\quad \times(x^2-y^2)\}(x^2+y^2)^{-4} + 4\alpha^6y\{2x(3x^2y^2)(x^2-3y^2) - \lambda\alpha(5x^4-10x^2y^2+y^4)\}(x^2+y^2)^{-5} - 10\alpha^8xy(3x^2y^2)(x^2-3y^2)(x^2+y^2)^{-6}\}] \quad (10)\end{aligned}$$

$$\begin{aligned}\tau_{xy} &= \frac{P}{4\pi} [2\beta^2\alpha^2 - 2y^2 + \alpha^4\{(4\beta^2-1)(x^4-6x^2y^2+y^4) + \lambda\alpha x(x^2-3y^2)\}(x^2+y^2)^{-3} + \alpha^5y\{3\lambda x(x^4-10x^2y^2+5y^4) - 2(3\beta^2-1)\alpha(x^4-6x^2y^2 \\ &\quad + y^4)\}(x^2+y^2)^{-4} + 4\alpha^6\{x^4-15x^2y^2+15x^4y^2-y^6-\lambda\alpha x(x^6-10x^2y^2+5y^4)\}(x^2+y^2)^{-5} - 5\alpha^8(x^4-15x^2y^2+15x^4y^2-y^6)(x^2+y^2)^{-6}\}] \quad (11)\end{aligned}$$

5. 模型ひりの実験とその結果および考察

模型ひりによる実験は、修正理論と実際の応力性状が適合するか照査し、実験的にも円孔周辺の力学性状を把握する目的で行った。

ひり	a	u	zd	tw	b	t _f	t _f /t _{wd}	2c	I (cm ⁴)
1	3.87	68	25.09	0.62	12.46	0.95	1.533	39.93	4160
2	5.80	68	25.08	0.62	12.10	0.93	1.493	39.58	4109
3	7.75	68	25.07	0.62	12.41	0.95	1.521	39.81	4126

模型ひりの平均断面積(cm)

右表に模型ひりの平均断面積を示す。模型ひりは、全長 210 cm の圧延 H 形鋼 250×125×6×9、材質 S5541 弾性係数 $2.1 \times 10^6 \text{ kg/cm}^2$ である。ひりみは、電気抵抗線ポリエスチルひずみゲージで測定した。載荷装置を右の写真に示す。実験の荷重状態は、円孔中心断面が、曲げ、せん断、曲げとせん断を受ける場合について行った。

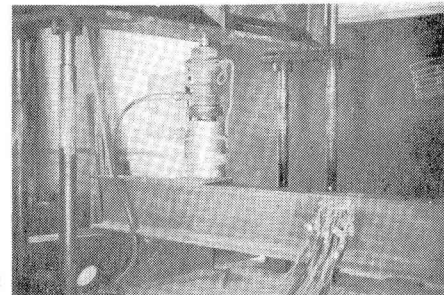
曲げとせん断を受ける場合の実験結果および修正理論、無限板理論による数値計算結果を図-4, 5 に示す。

図-4 は、円孔径と高さの比 $\%d$ が $2/3$ 、 $1/2$ 、 $1/3$ に変化する場合、孔縁接線応力 σ_d について修正理論、無限板理論、実験の測定値を示している。修正理論は、孔径の変化に関係なく実測値とほぼ合致する。一方無限板理論は、孔径が大きくなるにつれて実測値との近似が悪くなる、その値は実測値より小さくなる。たとえば、 $\%d = 2/3$ のとき、無限板理論による円孔縁の接線応力 σ_d は、実測値の 60% くらいであろう。

図-5 は、孔径の大きいひり 3 ($\%d = 2/3$) について、 $x = 0, \pm 1/2, \pm a$ の各断面における垂直応力 σ_x せん断応力 τ_{xy} を示している。図-5によれば、修正理論と実測値の相関は、円孔縁付近においてより傾向を示しているが、フランジ付近の相関は、やるくなっている。この傾向は、孔径の大きさに比例して著しくなることが認められる。しかし、孔径の大きい場合、最大主応力は孔縁に生ずるので、その値を求めることは、修正理論は有効と思われる。無限板理論と実測値の相関は、かなりわざくその適応性は認めかたい。

6. あとがき

修正理論と無限板理論を実測値と比較検討した結果によると、それらの解析法の適用性について



載荷装置

述べる。

修正理論について

① 孔縁附近の応力は、孔径に関係なく正確に表わす。

② フランジ付近の応力は、 $\frac{a}{d} \leq 0.6$ において正確に表わす。しかし $\frac{a}{d} > 0.6$ の場合、理論値と実測値の相違は、やるくなる。これは、円孔が大きくなると、ウェブ面積が非常に少くなり、(より)の上下フランジ部分が、個々にランゲン部材のような挙動をし、(より)の解法が適用しかたなくなるものと思われる。

無限板理論について

荷重状態により、適応性が変化する。

① 曲げのみを受けた時、 $\frac{a}{d} \leq 0.7$ で適用可能。

② せん断のみを受けた時、 $\frac{a}{d} \leq 0.4$ で適用可能。

参考文献

(1) Bower, J.E. [Elastic Stresses Around Holes in Wide-Flange Beams] Journal of the Structural Division, ASCE 1966

(2) Bower, J.E. [Experimental Stresses in Wide-Flange Beams with Holes] Journal of the Structural Division, ASCE 1967

(3) Savin, G.N. [Stress Concentration Around Holes] Pergamon 1961.

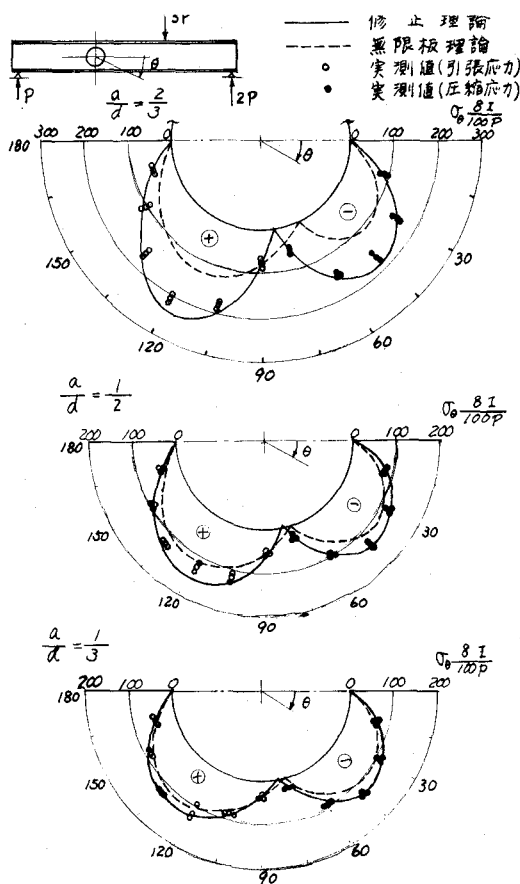


図-4 孔縁の接線応力 σ_t

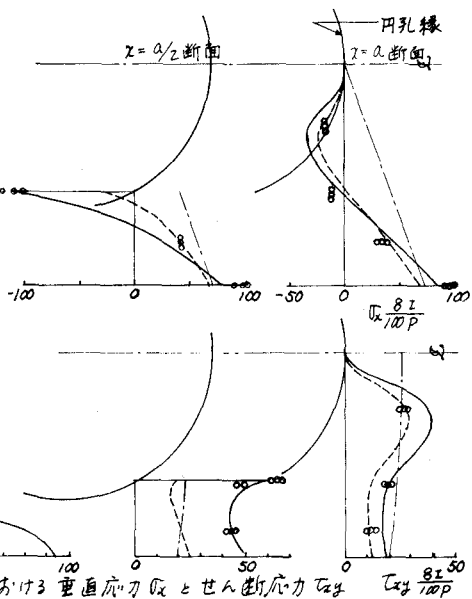
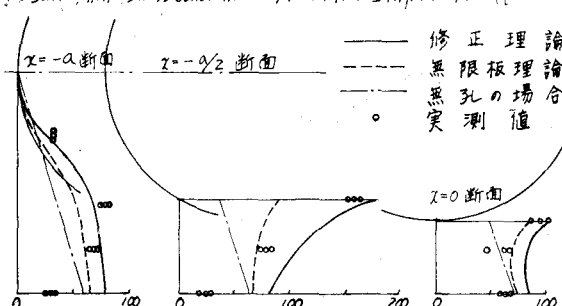


図-5 $\frac{a}{d} = \frac{2}{3}$ の各断面における直応力 σ_v とせん断応力 τ_{xy} τ_{yx}